

RESOLUÇÃO DO PROBLEMA DAS P-MEDIANAS POR MEIO DE ALGORITMOS BASEADOS EM GRASP, ILS E MULTI-START

Gustavo Marques Zeferino, Flaviana M. de S. Amorim, Marcone Jamilson Freitas Souza, Moacir F. de F. Filho e Sérgio Ricardo de Souza

Centro Federal de Educação Tecnológica de Minas Gerais – CEFET/MG.

CEP: 30.510-000 -- Belo Horizonte -- MG – Brasil.

zeferino@lsi.cefetmg.br, flaviana@dppg.cefetmg.br, marcone@iceb.ufop.br, franca@des.cefetmg.br e sergio@dppg.cefetmg.br

Resumo – Este trabalho aborda o Problema das p-Medianas por meio de algoritmos baseados nas ametaheurísticas *Greedy Randomized Adaptive Search Procedure* (GRASP), *Iterated Local Search* (ILS) e *Multi-Start*. Esses algoritmos utilizam, como método de busca local, o algoritmo *Fast Swap-based Local Search*. Os experimentos computacionais foram realizados com dois conjuntos de instâncias da literatura e mostraram que o algoritmo ILS apresenta o melhor desempenho em termos de tempo de execução e qualidade da solução.

Palavras chave – Problema das p-Medianas, GRASP, Iterated Local Search, Multi-Start.

1 Introdução

Este trabalho tem seu foco no Problema das p-Medianas (PPM) não-capacitado, em que o objetivo é escolher, dentre n nós de um grafo, um conjunto de p nós, denominados medianas, de modo a minimizar a soma das distâncias de cada nó restante até o nó mediana mais próximo. Na versão capacitada deste Problema, a cada nó mediana do grafo é associado um peso de capacidade máxima a ser satisfeito pela mediana escolhida. Neste caso, a soma das demandas de todos os nós cobertos por uma mediana não deve ultrapassar a capacidade de atendimento da mesma [8]. Exemplos de aplicações do PPM podem ser vistos em diversos trabalhos, como Sistemas de Distribuição [7], Atendimento de Clientes de uma Rede com Demanda Probabilística [4] e Sistemas de Informações Geográficas [8], dentre outros. Uma revisão a respeito do PPM pode ser encontrada em [11].

O PPM é um problema da classe NP-difícil [6] e, portanto, heurísticas são as alternativas utilizadas para resolver instâncias de maior porte do problema.

O restante deste artigo está estruturado como segue. Na seção 2 é apresentada a definição e uma formulação formal do problema. A seção 3 apresenta a metodologia adotada para resolver o PPM. Na seção 4 são apresentados os testes realizados com estes algoritmos utilizando várias classes de instâncias da literatura, sendo também realizada uma comparação gráfica de desempenho entre estes métodos. Por último, é feita a conclusão do trabalho na seção 5.

2 Definição do Problema

Seja $G = (V, A)$ um grafo não direcionado ponderado, em que V é o conjunto dos vértices do grafo e A é o conjunto das arestas, tendo associado a cada aresta o valor da distância (ou custo de viagem) entre dois vértices adjacentes. O objetivo do problema é encontrar p vértices, de forma a minimizar a distância entre estes p vértices selecionados e os vértices restantes. Cada vértice restante é ligado ou associado a somente um dos p vértices escolhidos, sendo este o vértice mais próximo, denominado como mediana.

2.1 Formulação Matemática

O Problema das p-Medianas pode ser formulado, segundo [2], como segue:

$$\begin{aligned} \min \quad & \sum_{i=1}^n \sum_{j=1}^n w_i d_{ij} x_{ij} \\ \text{sujeito a: } \quad & \sum_{j=1}^n x_{ij} = 1 \quad \forall i \\ & x_{ij} \leq y_j \quad \forall i, j \\ & \sum_{j=1}^n y_j = p, \\ & x_{ij} = 1 \text{ ou } 0 \quad \forall i, j, \\ & y_j = 1 \text{ ou } 0 \quad \forall j \end{aligned}$$

em que:

$$\begin{aligned}
 p &= \text{número de medianas a serem instaladas;} \\
 n &= \text{número total de nós de demanda;} \\
 w_i &= \text{demanda do nó } i; \\
 d_{ij} &= \text{distância entre o nó } i \text{ e } j; \\
 x_{ij} &= \begin{cases} 1, & \text{se o nó } i \text{ é atendido pela mediana do nó } j; \\ 0, & \text{caso contrário.} \end{cases} \\
 y_j &= \begin{cases} 1, & \text{se a mediana é instalada no nó } j; \\ 0, & \text{caso contrário.} \end{cases}
 \end{aligned}$$

A primeira restrição da formulação matemática do problema assegura que um nó de demanda é atendido por uma única mediana. A segunda afirma que um nó de demanda somente é atendido por uma mediana que esteja instalada. E a terceira restrição garante que são designadas apenas p medianas. As demais restrições definem que as variáveis envolvidas são binárias.

3 Metodologia

Esta seção apresenta os procedimentos propostos para a solução do PPM. Inicialmente, é apresentada a estrutura de dados utilizada para a representação de uma solução. Em seguida, são detalhados, brevemente, as três metaheurísticas implementadas para a solução do PPM, a saber, *Greedy Randomized Adaptive Search Procedure* (GRASP), *Iterated Local Search* (ILS) e *Multi-Start*. Por fim, é apresentada a técnica de busca local utilizada como heurística de refinamento dessas metaheurísticas.

3.1 Representação da Solução

Para representar uma solução foi definida uma matriz com n colunas e três linhas. A primeira linha contém os índices dos vértices, sendo que as p primeiras posições representam os índices dos vértices que são classificados como medianas. Cada configuração destes p primeiros índices, desconsiderando ordem, representa uma possível solução para o problema. A segunda linha armazena o índice da mediana que atende o vértice com índice definido na primeira linha e a terceira linha armazena a distância entre a mediana e o vértice.

Para explorar o espaço de soluções foram utilizados movimentos de troca, que consistem em trocar um vértice que é mediana por um que não o seja.

3.2 Metaheurísticas

Foram propostos três algoritmos metaheurísticos, os quais são detalhados nas seções seguintes.

3.2.1 GRASP

Greedy Randomized Adaptive Search Procedure -- GRASP [13] é uma metaheurística que consiste na aplicação iterativa de duas fases: construção e refinamento, retornando a melhor das soluções obtidas ao longo da busca.

Na fase de construção, é gerada uma solução parcialmente gulosa por meio de uma função guia. A aleatoriedade da construção é controlada por um parâmetro real $\alpha \in [0, 1]$. Para $\alpha = 1$, tem-se uma solução totalmente aleatória; para $\alpha = 0$, tem-se uma solução gulosa. Após a construção da solução, é aplicado o método de busca local apresentado na seção 3.3 para refinar a solução construída.

A construção de uma solução no método GRASP consiste em inserir elementos, obedecendo a um valor calculado pela função guia $g(\cdot)$ e a uma regra de seleção que contém um fator aleatório. Para o PPM, este método consiste em selecionar somente p vértices para serem medianas.

Para cada inserção, é definida uma lista C com os vértices remanescentes. Para cada vértice, é calculado um valor, através da função guia $g(t)$, que consiste no somatório das distâncias do vértice $t \in C$ para todos os demais vértices $i \in C \setminus \{t\}$. Alguns destes vértices são selecionados para uma outra lista, chamada de Lista Restrita de Candidatos (LRC), pela seguinte regra:

$$LRC = \{t \in C \mid g(t) \leq g(t_{\min}) + \alpha(g(t_{\max}) - g(t_{\min}))\}$$

Com $t_{\max} = \arg \max_{t \in C} g(t)$ e $t_{\min} = \arg \min_{t \in C} g(t)$.

Em que t_{\max} , t_{\min} e α é um valor real no intervalo $[0, 1]$ definido pelo usuário. Com a LRC construída, é calculado o valor de aptidão para cada um dos vértices pertencentes a ela. A aptidão de um elemento t da lista LRC é calculada pela expressão:

$$f(t) = \frac{1/g(t)}{\sum_{t \in LRC} 1/g(t)}$$

A aptidão representa a probabilidade do vértice t da lista LRC ser escolhido como mediana. Desta forma, é gerado uma variável aleatória e com ela é feito um sorteio para a definição de qual vértice será escolhido como mediana. Todo o processo é repetido até que todas as p medianas sejam escolhidas.

Após a construção, a solução gerada por este procedimento é melhorada pela heurística de refinamento descrita na seção 3.3.

Esse processo de construção e refinamento é aplicado 10 vezes, retornando-se a melhor das soluções obtidas.

3.2.2 ILS

A metaheurística *Iterated Local Search* – ILS [9] consiste em partir de uma solução inicial s_0 , previamente obtida a partir da utilização de um algoritmo de construção; aplicar um procedimento de busca local a essa solução; e, para escapar do ótimo local gerado, aplicar perturbações nesse ótimo local. No algoritmo ILS implementado, a solução inicial é o melhor resultado obtido dentre 20 iterações da fase de construção GRASP.

Em seguida, foi aplicada a fase de refinamento do ILS. A busca local utilizada é a descrita na seção 3.3. Para modificar a solução s obtida, são feitas perturbações na mesma, gerando-se as soluções perturbadas s' . Sobre essas soluções, é aplicado o procedimento de refinamento, gerando um ótimo local s'' . A decisão sobre qual solução será aplicada a próxima perturbação é feita pelo critério de aceitação. O critério de aceitação adotado é o de melhora no valor da solução corrente s , isto é, uma solução s'' é aceita para ser a nova solução s corrente se $f(s) < f(s'')$.

No ILS, a intensificação é obtida em perturbações feitas na solução corrente. Já a diversificação é obtida quando se aceita qualquer solução s'' e são aplicadas perturbações maiores na solução ótima corrente. O êxito deste método está diretamente associado à definição do procedimento de busca local, do procedimento de perturbação aplicado à solução atual e do critério de aceitação das soluções. Uma perturbação no algoritmo implementado consiste em executar um movimento de troca aleatória entre uma mediana alocada (ou “aberta”) e uma mediana candidata (ou “fechada”). Além disso, as perturbações são executadas em níveis, isto é, para cada nível i de perturbação, são realizadas $Nivel_iter$ iterações em relação à solução ótima local corrente. Este valor foi fixado em $Nivel_iter = 20$. As perturbações são realizadas de $Nivel_min_per$ a $Nivel_max_per$ níveis. Neste trabalho, estes valores foram fixados em $Nivel_min_per = 3$ e $Nivel_max_per = 10$.

3.2.3 Multi-Start

Multi-Start [10] é uma metaheurística simples, consistindo em gerar soluções aleatórias e melhorá-las, por meio de uma heurística de refinamento. O método de busca local adotado é o descrito na seção 3.3. A solução inicial é gerada de forma aleatória com distribuição uniforme. Cada vez que uma melhor solução é encontrada, ela é armazenada.

Como critério de parada, foi adotado o número de 100 iterações sem melhora, ou seja, o método para quando a melhor solução se mantém inalterada por 100 iterações.

3.3 Busca local

Para este trabalho foi implementada a busca local que realiza sempre a melhor troca possível e que repete este processo até que não exista mais alguma troca que melhore o valor da função objetivo (distância entre as medianas e os vértices). Esta heurística é conhecida como Método da Descida (ou *Best Improvement Method*). Neste trabalho, foi implementada um versão deste método, descrita em [12], conhecida como *Fast Swap-based Heuristic*. A heurística calcula o ganho, para cada vértice que não é mediana, caso esta se torne uma mediana, e calcula, para cada mediana, a perda, caso esta deixe de ser mediana. Além disto, é calculado um fator que considera o impacto total na solução caso se realize uma determinada troca. Com estes valores, é possível estimar o ganho de cada troca e efetivar aquela que possui o maior ganho. A grande vantagem deste método é que não é necessário realizar a troca em si para estimar esses valores. Um dos motivos é que as informações calculadas não são recalculadas a cada iteração e, sim, somente atualizadas.

4 Resultados

Os algoritmos GRASP, ILS e *Multi-Start* foram implementados na linguagem C++ e testados em um computador com processador Pentium Intel(R) Core(TM)2 Quad Q8400, com clock de 2.66 GHz, 3,7 GB de RAM, Kernel Linux 2.6.32-30-generic, compilador GCC versão 4.4.3 e sistema operacional Ubuntu 10.04 64-bits. Para testar os algoritmos, foram usadas duas classes de instâncias: *OR-Library* [3] e *Koerkel* [2]. Para cada instância, cada algoritmo foi executado 50 vezes.

As tabelas em que são apresentados os resultados obtidos têm a coluna Instância que é subdividida em quatro outras colunas: a subcoluna Nome, que expressa o nome da instância; a subcoluna n , que representa o número de vértices contido na instância; a subcoluna p , representando os números de medianas que devem ser instaladas; e a subcoluna Ótimo, na qual está o valor ótimo encontrado na literatura correspondente a cada instância. Nas outras três colunas, são apresentados os resultados obtidos para cada algoritmo implementado GRASP, ILS e *Multi-Start*, com suas respectivas subcolunas Melhor, que lista o melhor resultado encontrado; subcoluna Erro %, que informa a porcentagem com que a média dos valores obtidos ficaram distantes do valor ótimo; e a subcoluna Tempo, indicando o tempo médio gasto pelos algoritmos, em segundos.

Pela Tabela 1, que contém os resultados da instância *OR-Library*, verifica-se que o algoritmo ILS é capaz de encontrar todos os valores ótimos da classe de instâncias analisada. O algoritmo GRASP não alcançou o resultado ótimo apenas na instância pmed30. O algoritmo *Multi-Start*, por sua vez, não alcançou o resultado ótimo nas instâncias pmed19, pmed25, pmed30 e pmed40. Na tabela 2, estão os resultados obtidos para as instâncias *Koerke*, em que é visto que o ILS alcançou valores menores que os da literatura para os conjuntos K1000-2 e K-1000-4. O algoritmo GRASP não alcançou nenhum dos resultados. E o algoritmo *Multi-Start*, por sua vez, alcançou um resultado menor para a instância K1000-2.

Com relação aos valores de erro médio encontrados, o algoritmo ILS apresenta valores menores ou iguais a 0,01% para 27 das instâncias *OR-Library* e, para todas as instâncias *Koerke*. Entre 0,01% e 0,1% são encontrados 11 resultados para as instâncias *OR-Library*; e maior que 0,1% para 2 resultados nas instâncias *OR-Library*. Quanto ao algoritmo GRASP, os valores de erro médio menores ou igual a 0,01% são encontrados em 32 instâncias *OR-Library* e, em todas as instâncias *Koerke*; entre 0,01% e 0,1% para 5 instâncias *OR-Library*; e maior que 0,1% é visto em 2 instâncias *OR-Library*. Por último, no algoritmo *Multi-Start*, os valores de erro médio menores ou igual a 0,01% são encontrados em 32 instâncias *OR-Library* e em todas as instâncias *Koerke*; entre 0,01% e 0,1% para seis instâncias *OR-Library*; e maior que 0,1% para duas instâncias *OR-Library*.

Com relação ao tempo, nas instâncias *OR-Library*, os três algoritmos alcançaram o valor rapidamente para as instâncias com $n = 100$. O ILS obteve o menor tempo na pmed4 *OR-Library* e na K1000-2, com os tempos de 0,2649 e 12,2418 segundos, respectivamente. O GRASP obteve em 0,3276 segundos o valor ótimo da instância pmed1. Porém, seu menor tempo nas instâncias de *Koerke* foi de 22,9774 segundos na K1000-2, sem alcançar o ótimo. Já o algoritmo *Multi-Start* obteve seu menor tempo de 0,7380 e 33,2020 segundos para alcançar o valor ótimo nas instâncias pmed1 e K1000-2, respectivamente. Nesta última chegou a diminuir o valor da literatura.

De forma a comparar esses algoritmos com relação ao tempo necessário para encontrar um valor alvo, foram feitos experimentos, segundo a abordagem indicada em [1]. Para execução dos experimentos, utilizou-se a instância pmed30 *OR-Library* e a instância K1000-4 *Koerke*, cujos valores ótimos são, respectivamente, 1989 e 32.110.068. Cada algoritmo foi executado 50 vezes, sendo interrompido após alcançar o valor alvo, no caso, os valores 2000 e 32.493.567, respectivamente. Não foram permitidos tempos de execução repetidos; assim, os tempos repetidos foram descartados e uma nova execução foi feita.

Nas figuras 1 e 2, verifica-se que o algoritmo ILS é o que alcança o valor alvo mais rapidamente nas classes de instâncias em estudo. Na instância pmed30 *OR-Library*, enquanto o valor alvo é alcançado instantaneamente pelo ILS, este mesmo alvo é alcançado pelo GRASP em cerca de 250 segundos e pelo *Multi-Start* em quase 800 segundos. Este resultado é também corroborado pelos valores apresentados na Tabela 1 para a mesma instância, uma vez que o algoritmo ILS alcançou, em 50 execuções, o valor ótimo em 209,152 segundos, tendo um erro médio de 0,1398%. Semelhantemente aos resultados apresentado acima, o ILS na instância *Koerke*, K1000-4, alcança o alvo rapidamente, o mesmo só é alcançado pelo GRASP após 100 segundos e pelo *Multi-Start* depois dos 250 segundos. Este resultado é também corroborado pelos valores apresentados na Tabela 2.

5 Conclusões

Este trabalho tratou o Problema das p-Medianas não-capacitado por meio de três algoritmos, baseados em GRASP, ILS e *Multi-Start*.

O algoritmo GRASP consiste na aplicação iterativa de duas fases, construção e refinamento, retornando a melhor das soluções obtidas ao longo da busca. Nas instâncias *OR-Library* alcançou valores ótimos em 97,5% e nas instâncias *Koerke* não alcançou nenhum valor ótimo. Os maiores erros percentuais foram de 2,569,103 e 0,0153 nas respectivas instâncias pmed30 e K1000-6, tendo o erro médio, dentre cada uma das classes de instâncias dado por 0,0208 e 0,0087.

O algoritmo ILS implementado utiliza, para geração da solução inicial, a fase de construção da metaheurística GRASP. Ele apresentou resultados superiores aos encontrados para as implementações de *Multi-Start* e GRASP, alcançando valores ótimos em 100% dos 40 conjuntos de instâncias *OR-Library*, já nas instâncias *Koerke* não alcançou nenhum valor ótimo. Os maiores erros percentuais foram de 0,1398 e 0,0088 nas respectivas instâncias pmed30 e K1000-12, tendo o erro médio, dentre cada uma das classes de instâncias dado por 0,0187 e 0,0049.

O algoritmo *Multi-Start*, mesmo sendo baseado em uma metaheurística simples, em que sua solução inicial, neste trabalho, é gerada de forma aleatória, com distribuição uniforme, conseguiu alcançar, dentre os 40 conjuntos das instâncias *OR-Library*, 90% e nas instâncias *Koerke* não alcançou nenhum valor ótimo. Os maiores erros percentuais foram de 0,3519 e 0,0346 nas respectivas instâncias pmed30 e K1000-2, tendo o erro médio, dentre cada uma das classes de instâncias dado por 0,0206 e 0,0115.

Estes resultados mostram a superioridade da implementação realizada para o algoritmo baseado em ILS sobre os demais. Esta afirmativa se baseia no melhor desempenho no tocante ao número de valores ótimos alcançados, em que é seguida pela GRASP e, por fim, pela *Multi-Start*. A superioridade da ILS é corroborada, por fim, pelos gráficos *time-to-target* apresentados nas figuras 1 e 2, em que o ILS alcança o valor alvo em tempo inferior ao dos demais métodos.

A principal vantagem do algoritmo ILS e do *Multi-Start*, é o menor tempo de processamento e, a simplicidade da implementação, respectivamente. Para as instâncias *OR-Library* e *Koerke* a principal vantagem do GRASP reside na baixa variabilidade das soluções finais; e no ILS, no menor tempo de processamento requerido.

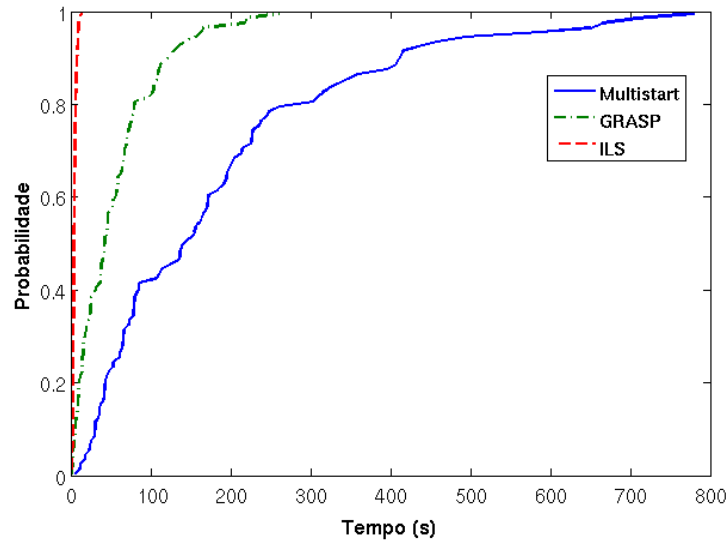


Figura 1: *Time-to-target* da instância pmed30 com alvo igual a 2000.

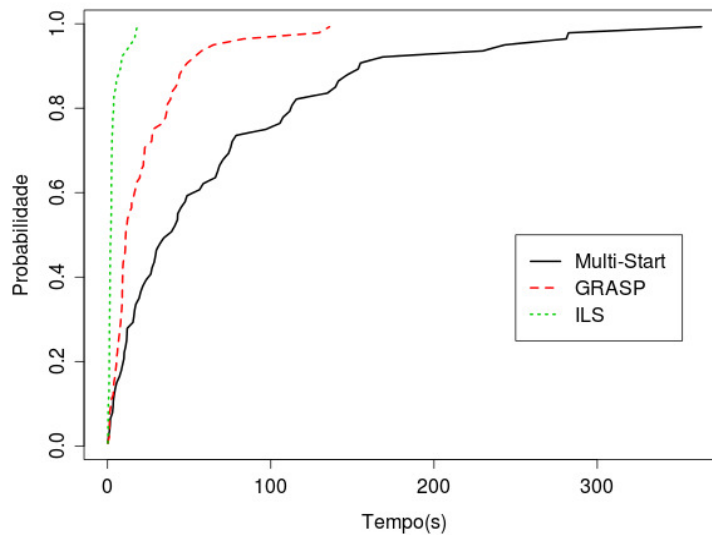


Figura 2: *Time-to-target* da instância K1000-4 com alvo igual a 32.493.567.

Agradecimentos

Os autores agradecem ao CEFET-MG, à CAPES, à FAPEMIG e ao CNPq pelo apoio ao desenvolvimento deste trabalho.

Referências

- [1] Aiex, R. M.; Resende, M. G. C.; Ribeiro, C. C. (2002). Probability distribution of solution time in GRASP: An experimental investigation. *Journal of Heuristics*, 8:343–373.
- [2] Alp, O.; Erkut, E.; Drezner, D. (2003). An efficient genetic algorithm for the p-median problem. *Annals of Operations Research*, 122:21–42.
- [3] Beasley, J. (1985). A note on solving large p-median problems. *European Journal of Operational Research*, 31:270–273.

- [4] Berman, O.; Wang, J. (2010). The network p -median problem with discrete probabilistic demand weights. *Computer & Operations Research*, 37(8): 1455–1463.
- [5] Christofides, N. G. T. (1975). *An algorithmic approach*. New York: Academic Press Inc.
- [6] Kariv, O.; Hakimi, L. (1979). An algorithmic approach to network location problems. ii: The p -medians. *SIAM Journal on Applied Mathematics*, 37(3): 539–560.
- [7] Klose, A.; Drexl, A. (2005). Facility location models for distribution system design. *European Journal of Operational Research*, 162: 4–29.
- [8] Lorena, L. A. N.; Senne, E. L. F.; Paiva, J. A. C.; Pereira, M. A. (2001). Integração de modelos de localização a sistemas de informações geográficas. *Gestão e Produção*, 8(2): 185-195.
- [9] Lourenço, H. R.; Martin, O. C.; Stutzle, T. (2003). *Iterated local search*. In Glover, F. and Kochenberger, G., editors, *Handbook of Metaheuristics*, p. 321–353. Kluwer Academic Publishers, Boston.
- [10] Martí, R. (2003). *Multi-start methods*. In Glover, F. and Kochenberger, G., editors, *Handbook of Metaheuristics*, p. 355–367. Kluwer Academic Publishers, Boston.
- [11] Mladenovic, N.; Brimberg, J.; Hansen, P.; Moreno-Pérez, J. A. (2007). The p -median problem: A survey of metaheuristic approaches. *European Journal of Operational Research*, 179(3): 927 – 939.
- [12] Resende, M.; Werneck, R. (2003). A fast swap-based local search procedure for location problems. *Technical Report TD-5R3KBH*, AT&T Labs Research.
- [13] Resende, M. G. C.; Feo, T. A. (1995). Greedy randomized adaptive search procedures. *Journal of Global Optimization*, 9: 849–859.
- [14] Teitz, M. B.; Bart, P. (1968). Heuristic methods for estimating the generalized vertex median of a weighted graph. *Operations Research*, 16(5): 955-961.
- [15] Whitaker, R. A. (1983). A fast algorithm for the greedy interchange of large-scale clustering and median location problems. *INFOR*, 21:95-108.

Apêndice:

Instâncias				GRASP			ILS			Multi-Start		
Nome	n	p	Ótimo	Melhor	Erro %	Tempo (s)	Melhor	Erro %	Tempo (s)	Melhor	Erro %	Tempo (s)
pmed1	100	5	5819	5819	0,0000	0,3276	5819	0,0000	0,3933	5819	0,0000	0,7380
pmed2	100	10	4093	4093	0,0000	0,3562	4093	0,0000	0,2962	4093	0,0000	10,442
pmed3	100	10	4250	4250	0,0000	0,3461	4250	0,0000	0,2836	4250	0,0000	0,9017
pmed4	100	20	3034	3034	0,0000	0,4987	3034	0,0000	0,2649	3034	0,0000	14,970
pmed5	100	33	1355	1355	0,0000	0,6963	1355	0,0044	0,3447	1355	0,0000	22,143
pmed6	200	5	7824	7824	0,0000	11,817	7824	0,0000	15,531	7824	0,0000	29,274
pmed7	200	10	5631	5631	0,0000	12,869	5631	0,0000	0,9068	5631	0,0000	39,871
pmed8	200	20	4445	4445	0,0000	18,770	4445	0,0000	0,7986	4445	0,0000	63,669
pmed9	200	40	2734	2734	0,0000	34,515	2734	0,0029	0,9345	2734	0,0000	108,811
pmed10	200	67	1255	1255	0,0000	59,681	1255	0,0000	13,141	1255	0,0000	179,486
pmed11	300	5	7696	7696	0,0000	25,337	7696	0,0000	34,811	7696	0,0000	72,449
pmed12	300	10	6634	6634	0,0000	30,483	6634	0,0000	22,953	6634	0,0000	107,237
pmed13	300	30	4374	4374	0,0000	57,915	4374	0,0000	17,502	4374	0,0000	224,634
pmed14	300	60	2968	2968	0,0000	127,963	2968	0,0108	23,606	2968	0,0000	563,672
pmed15	300	100	1729	1729	0,0740	291,273	1729	0,0416	35,372	1729	0,0463	1.273,131
pmed16	400	5	8162	8162	0,0000	51,594	8162	0,0000	68,553	8162	0,0000	137,707
pmed17	400	10	6999	6999	0,0000	53,782	6999	0,0000	40,148	6999	0,0000	218,773
pmed18	400	40	4809	4809	0,0000	148,104	4809	0,0175	32,234	4809	0,0042	729,099
pmed19	400	80	2845	2845	0,0295	374,042	2845	0,0513	45,320	2845	0,0492	1.704,166
pmed20	400	133	1789	1789	0,0022	583,099	1789	0,0246	71,359	1789	0,0000	2.072,724
pmed21	500	5	9138	9138	0,0000	67,182	9138	0,0000	84,472	9138	0,0000	208,042
pmed22	500	10	8579	8579	0,0000	89,444	8579	0,0000	63,305	8579	0,0000	366,726
pmed23	500	50	4619	4619	0,0000	260,768	4619	0,0052	52,039	4619	0,0000	1.306,808
pmed24	500	100	2961	2961	0,0095	753,959	2961	0,0527	76,270	2961	0,0068	2.849,698
pmed25	500	167	1828	1828	0,1685	1.465,793	1828	0,1324	135,359	1828	0,1696	5.194,982
pmed26	600	5	9917	9917	0,0000	105,144	9917	0,0000	145,553	9917	0,0000	311,737
pmed27	600	10	8307	8307	0,0000	128,101	8307	0,0000	94,462	8307	0,0000	549,037
pmed28	600	60	4498	4498	0,0067	582,252	4498	0,0333	78,605	4498	0,0089	2.838,585
pmed29	600	120	3033	3033	0,0534	1.428,234	3033	0,0712	121,562	3033	0,0626	5.778,287
pmed30	600	200	1989	1993	0,3901	2.569,103	1989	0,1398	209,152	1992	0,3519	9.302,322
pmed31	700	5	10086	10086	0,0000	139,660	10086	0,0000	189,787	10086	0,0000	451,816
pmed32	700	10	9297	9297	0,0000	173,681	9297	0,0000	124,228	9297	0,0000	798,659
pmed33	700	70	4700	4700	0,0026	944,960	4700	0,0183	113,858	4700	0,0000	4.933,344
pmed34	700	140	3013	3013	0,0524	2.357,217	3013	0,0664	182,135	3013	0,0664	8.320,782
pmed35	800	5	10400	10400	0,0000	244,126	10400	0,0000	248,461	10400	0,0000	601,827
pmed36	800	10	9934	9934	0,0000	289,072	9934	0,0000	160,743	9934	0,0000	1.066,427
pmed37	800	80	5057	5057	0,0079	1.581,086	5057	0,0261	135,220	5057	0,0158	7.917,046
pmed38	900	5	11060	11060	0,0000	269,548	11060	0,0000	296,022	11060	0,0000	787,125
pmed39	900	10	9423	9423	0,0000	274,276	9423	0,0000	162,911	9423	0,0000	1.345,971
pmed40	900	90	5128	5128	0,0355	2.271,408	5128	0,0495	185,563	5129	0,0429	10.862,551

Tabela 1: Resultados obtidos para cada Metaheurística, aplicadas nas instâncias *OR-Library*. Para cada instância e método, foram realizados 50 execuções.

Instâncias				GRASP			ILS			Multi-Start		
Nome	n	p	Ótimo	Melhor	Erro %	Tempo (s)	Melhor	Erro %	Tempo (s)	Melhor	Erro %	Tempo (s)
K1000-2	1000	2	46.118.255	46.120.842	0,0067	22,9774	46.118.254	0,0005	12,2418	46.118.254	0,0346	33,2020
K1000-4	1000	4	32.110.068	32.174.931	0,0104	54,4206	32.117.422	0,0061	18,2872	32.252.865	0,0075	42,6806
K1000-6	1000	6	26.007.551	26.232.909	0,0153	75,5850	26.007.550	0,0066	17,6760	26.330.005	0,0162	53,2240
K1000-8	1000	8	22.251.618	22.569.395	0,0141	93,6926	22.270.385	0,0070	18,0594	22.604.481	0,0155	58,7468
K1000-10	1000	10	19.706.508	20.146.728	0,0084	142,8974	19.767.587	0,0073	18,8468	20.139.178	0,0140	74,1374
K1000-12	1000	12	17.804.044	18.226.542	0,0107	165,3240	17.818.307	0,0088	18,2688	18.313.325	0,0094	90,7072
K1000-17	1000	17	14.785.148	15.136.437	0,0116	186,1904	14.827.214	0,0055	18,1738	15.190.052	0,0114	99,6322
K1000-25	1000	25	12.004.788	12.376.835	0,0073	388,7774	12.028.966	0,0059	17,9060	12.431.766	0,0067	130,8414
K1000-50	1000	50	8.036.540	8.337.125	0,0087	492,2734	8.071.403	0,0032	21,1032	8.370.953	0,0060	248,1250
K1000-111	1000	111	4.810.938	5.047.303	0,0050	1016,0726	4.817.217	0,0042	32,4688	5.044.472	0,0080	595,0376
K1000-143	1000	143	4.019.654	4.193.801	0,0069	1460,5126	4.028.969	0,0030	39,3846	4.201.144	0,0076	772,5362
K1000-200	1000	200	3.117.365	3.250.501	0,0034	2529,0188	3.125.671	0,0036	44,4982	3.241.712	0,0078	1489,5542
K1000-333	1000	333	1.923.368	1.987.126	0,0045	3957,1334	1.928.882	0,0022	77,1094	1.984.547	0,0054	3667,5710

Tabela 2: Resultados obtidos para cada Metaheurística, aplicadas nas instâncias *Koerkel*. Para cada instância e método, foram realizados 50 execuções.